

Figura 363. Componente real de la densidad de campo B.  $f_e=1000\text{Hz}$  -  $f_r=0.05\text{Hz}$  -  $s=0.999$ . Distribución por par de polos  $p=20$ .

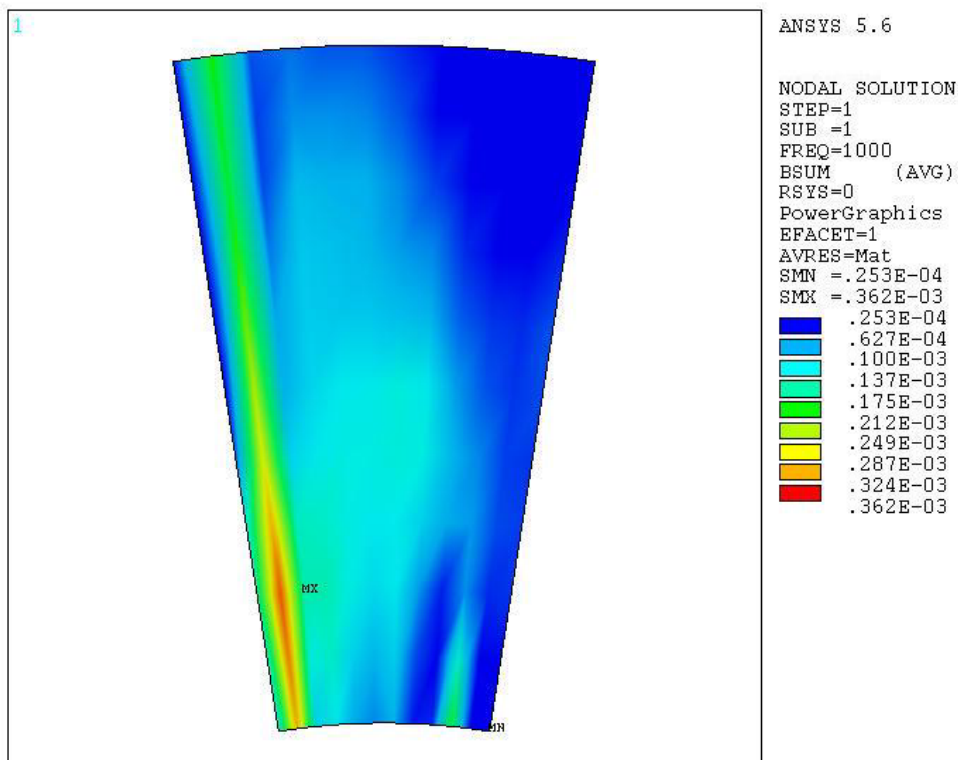


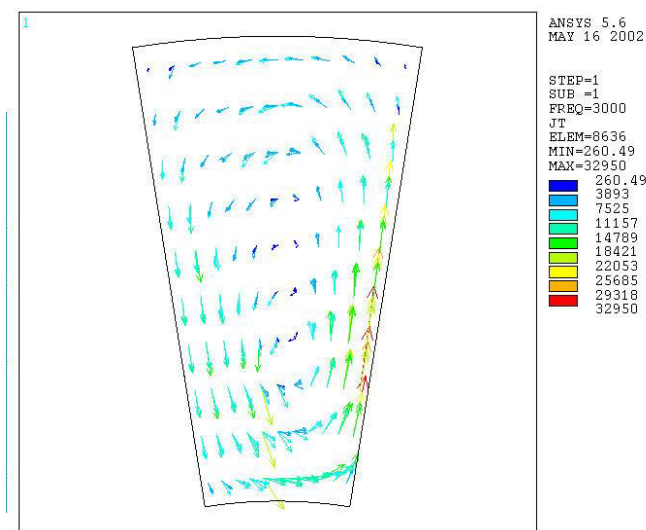
Figura 364. Componente imaginaria de la densidad de campo B.  $f_e=1000\text{Hz}$  -  $f_r=0.05\text{Hz}$  -  $s=0.999$ . Distribución por par de polos  $p=20$ .

**A.1.7. Comportamiento del motor a una fe de 3000 Hz, al variar el deslizamiento de  $s=0.05$  hasta  $s=0.999$ .**

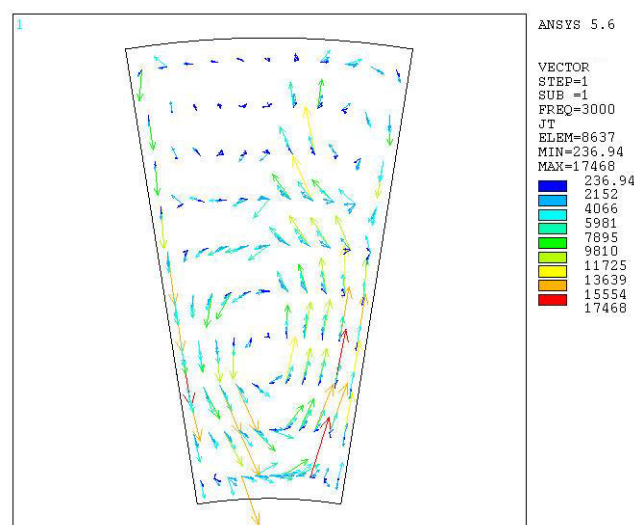
**A.1.7.1.  $s=0.05$  -  $fr=95\text{Hz}$ .**

Ver A.1.1.7.

**A.1.7.2.  $s=0.20$  -  $fr=120\text{Hz}$ .**



**Figura 365. Componente real de la J del rotor.  $f_e=3000\text{Hz}$  -  $f_r=120\text{Hz}$  -  $s=0.20$ . Distribución por par de polos  $p=20$ .**



**Figura 366. Componente imaginaria de la J del rotor.  $f_e=3000\text{Hz}$  -  $f_r=120\text{Hz}$  -  $s=0.20$ . Distribución por par de polos  $p=20$ .**

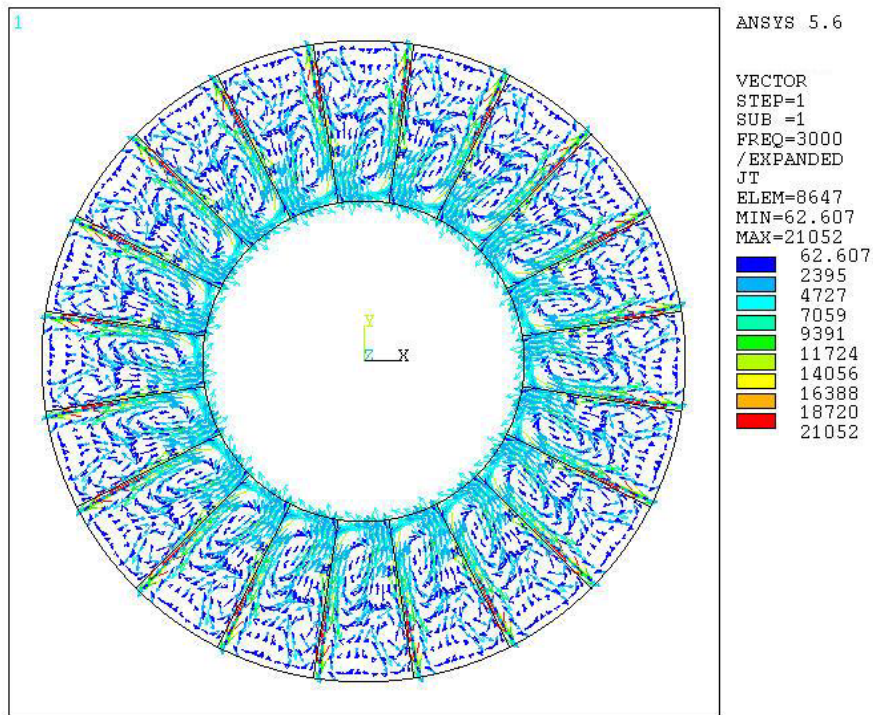


Figura 367. Componente real de la J del rotor.  $f_e=3000\text{Hz}$  -  $f_r=120\text{Hz}$  -  $s=0.20$ .  $p=20$ .

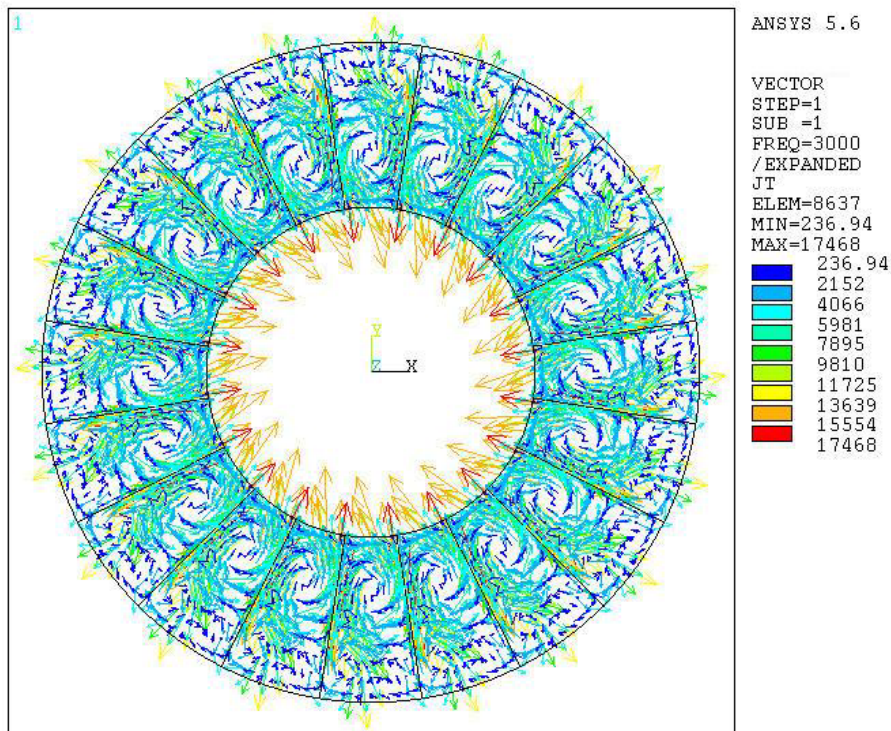


Figura 368. Componente imaginaria de la J del rotor.  $f_e=3000\text{Hz}$  -  $f_r=120\text{Hz}$  -  $s=0.20$ .  $p=20$ .



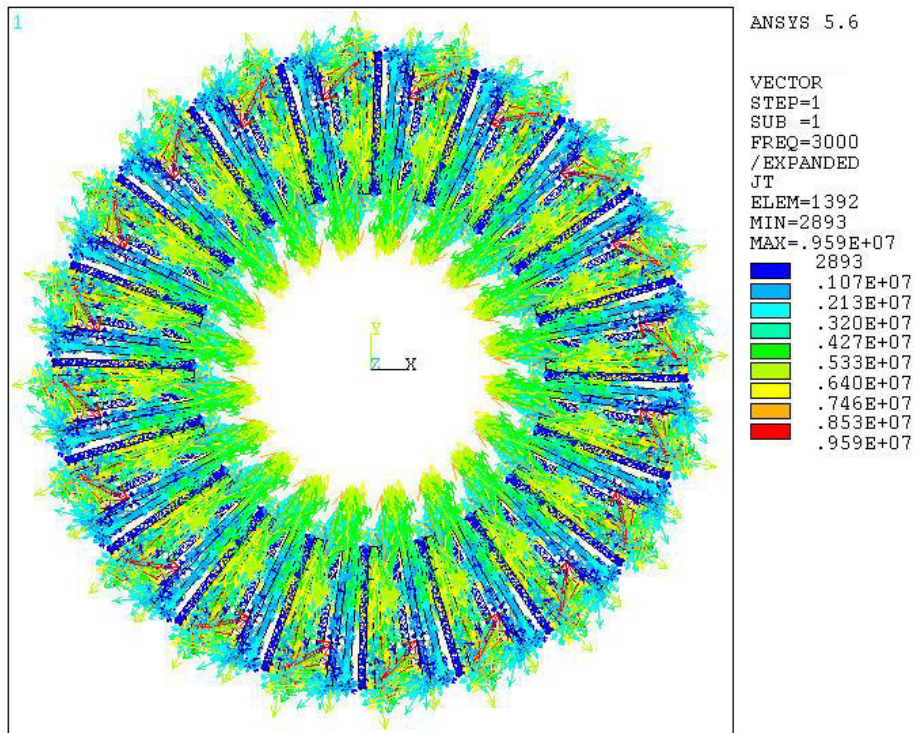


Figura 369. Componente imaginaria de las corrientes estáticas.  
 $f_e=3000\text{Hz}$  -  $f_r=120\text{Hz}$  -  $s=0.20$ .

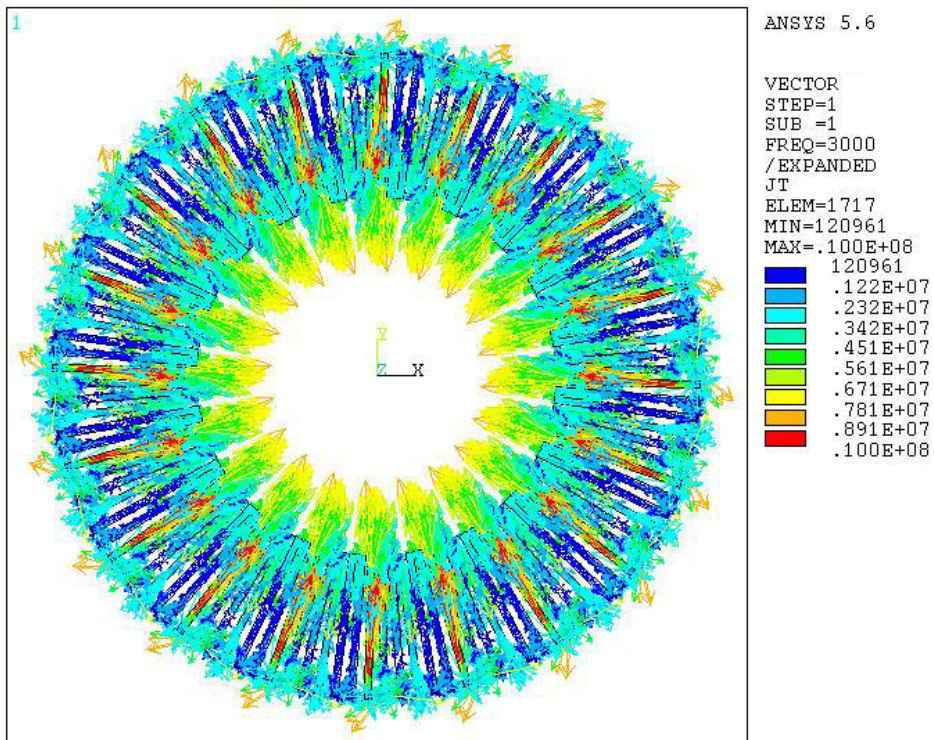


Figura 370. Componente imaginaria de las corrientes estáticas.  
 $f_e=3000\text{Hz}$  -  $f_r=120\text{Hz}$  -  $s=0.20$ .

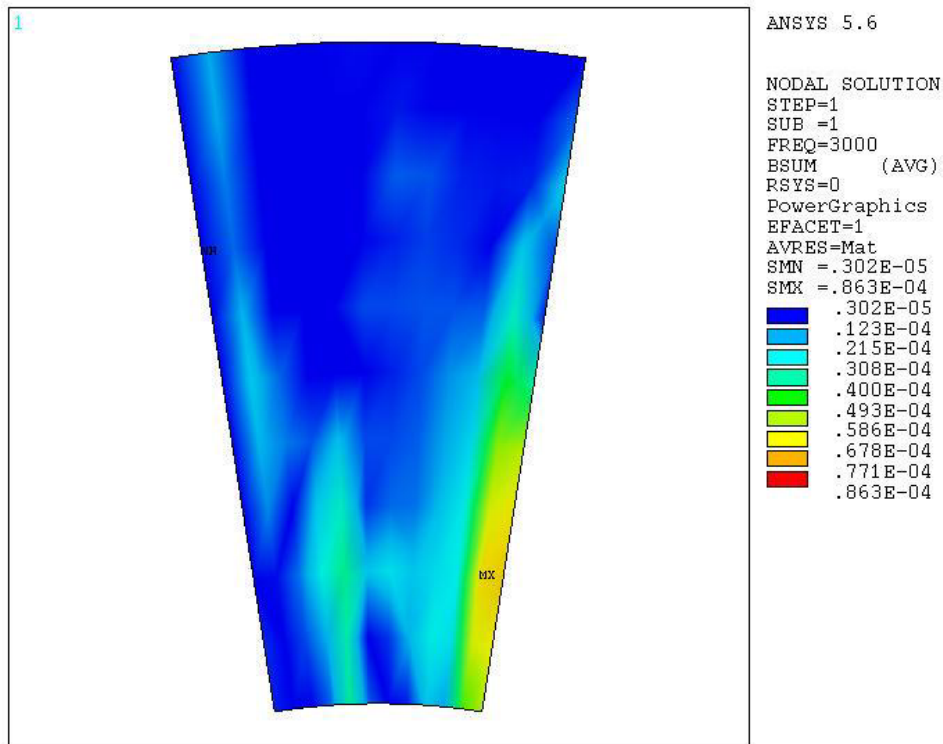


Figura 371. Componente real de la densidad de campo B.  $f_e=3000\text{Hz}$  -  $f_r=120\text{Hz}$  -  $s=0.20$ . Distribución por par de polos  $p=20$ .

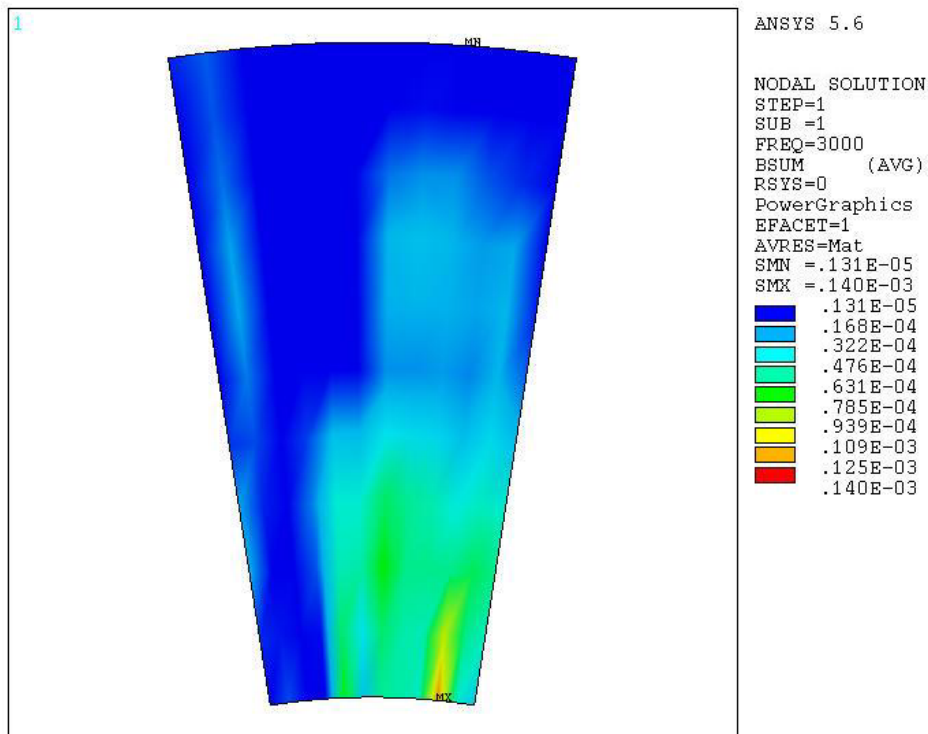


Figura 372. Componente imaginaria de la densidad de campo B.  $f_e=3000\text{Hz}$  -  $f_r=120\text{Hz}$  -  $s=0.20$ . Distribución por par de polos  $p=20$ .

A.1.7.3.  $s=0.50$  -  $f_r=75\text{Hz}$ .

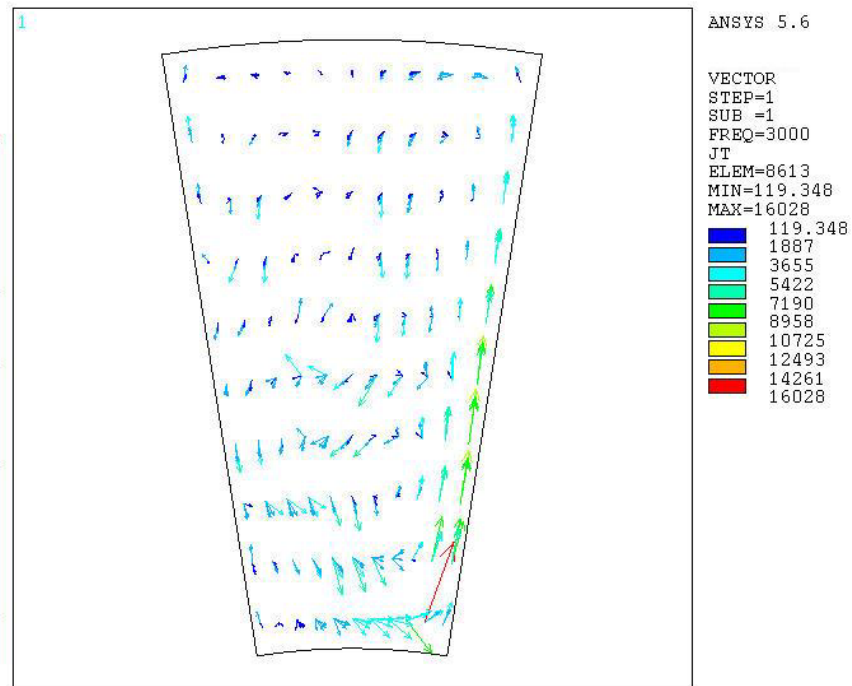


Figura 373. Componente real de la J del rotor.  $f_e=3000\text{Hz}$  -  $f_r=75\text{Hz}$  -  $s=0.50$ . Distribución por par de polos  $p=20$ .

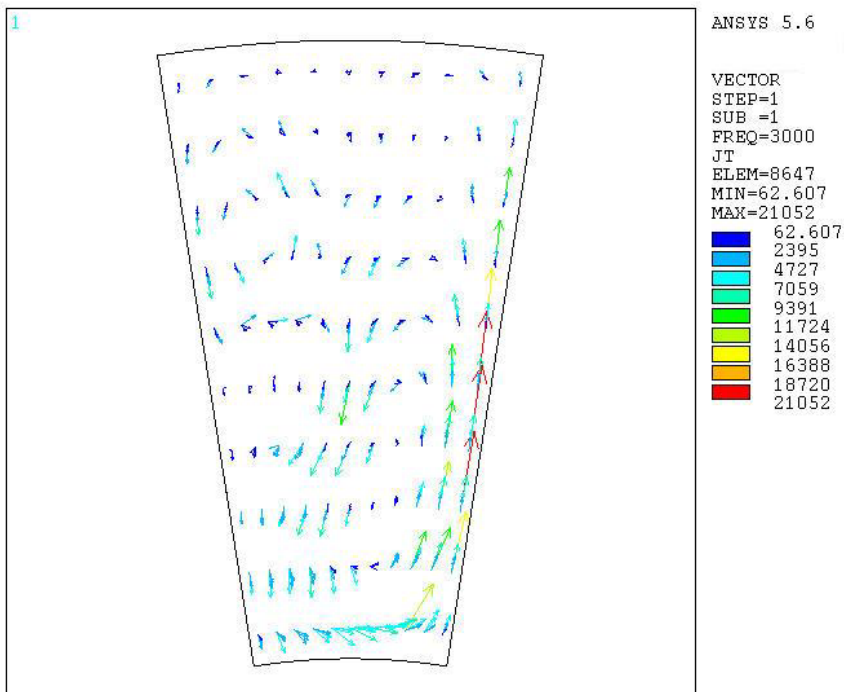


Figura 374. Componente imaginaria de la J del rotor.  $f_e=3000\text{Hz}$  -  $f_r=75\text{Hz}$  -  $s=0.50$ . Distribución por par de polos  $p=20$ .



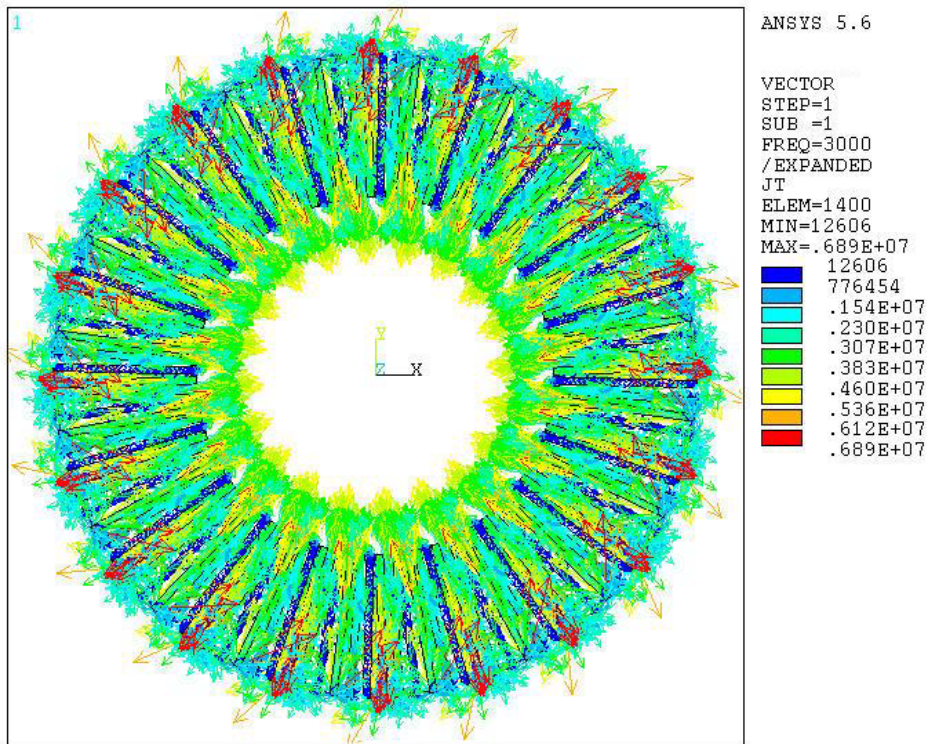


Figura 375. Componente real de las corrientes estáticas.  
 $f_e=3000\text{Hz}$  -  $f_r=75\text{Hz}$  -  $s=0.50$ .  $p=20$ .

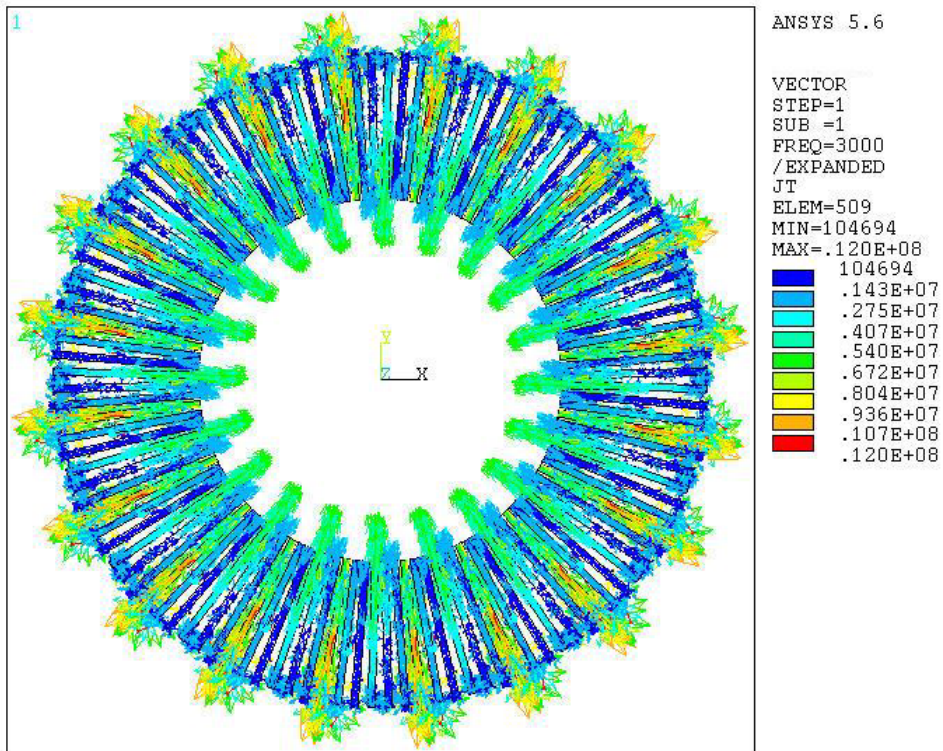


Figura 376. Componente imaginaria de las corrientes estáticas.  
 $f_e=3000\text{Hz}$  -  $f_r=75\text{Hz}$  -  $s=0.50$ .  $p=20$ .

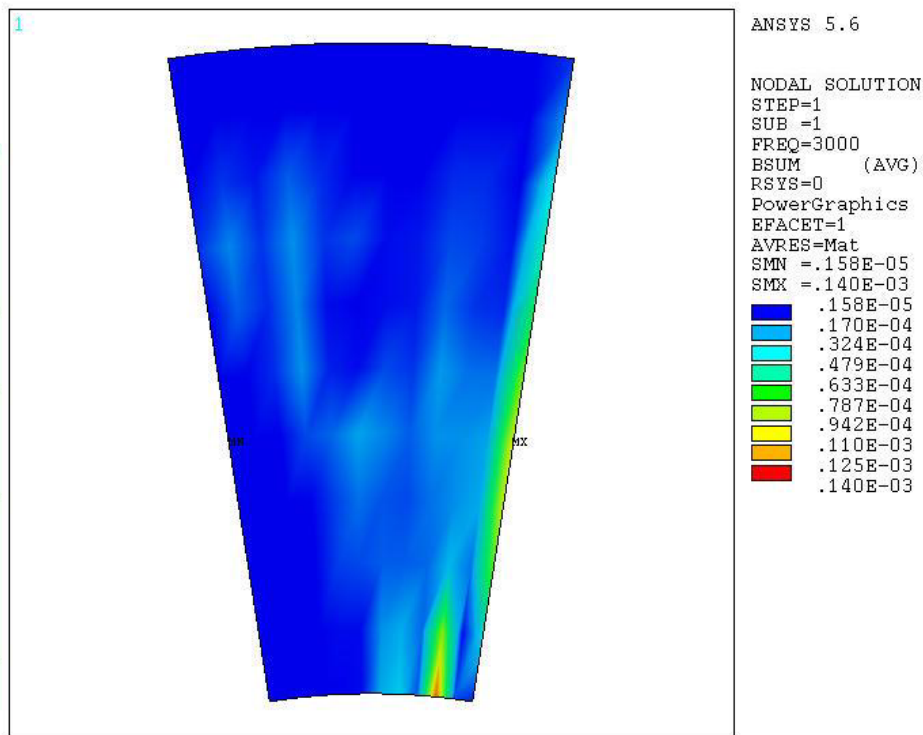


Figura 377. Componente real de la densidad de campo B.  
 $f_e=3000\text{Hz}$  -  $f_r=75\text{Hz}$  -  $s=0.50$ . Distribución por par de polos  $p=20$ .

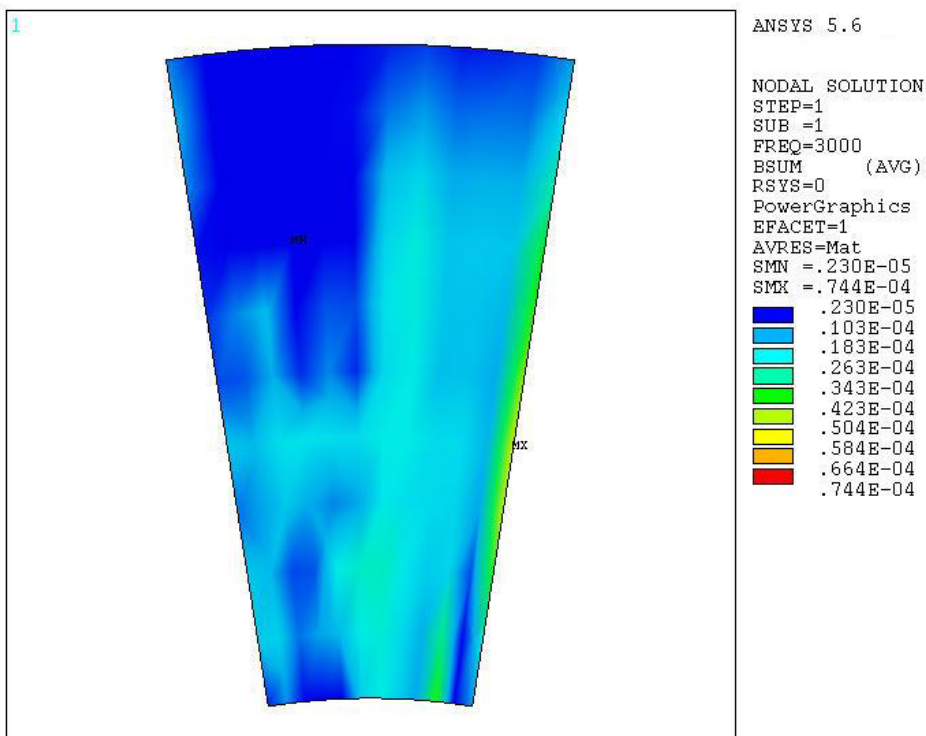


Figura 378. Componente imaginaria de la densidad de campo B.  
 $f_e=3000\text{Hz}$  -  $f_r=75\text{Hz}$  -  $s=0.50$ . Distribución por par de polos  $p=20$ .



A.1.7.4.  $s=0.999$  -  $fr=0.15\text{Hz}$ .

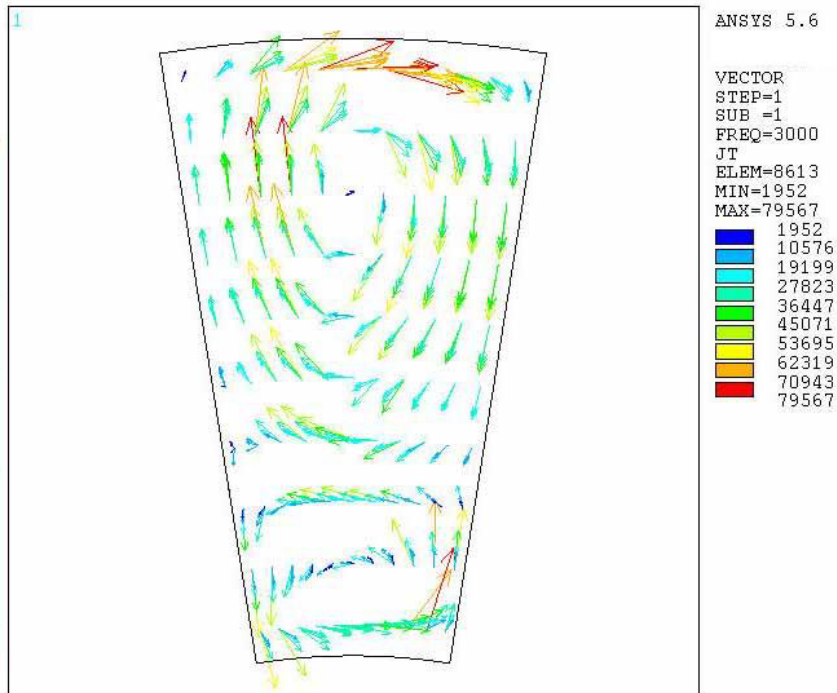


Figura 379. Componente real de la J del rotor.  $f_e=3000\text{Hz}$  -  $fr=0.15\text{Hz}$  -  $s=0.999$ . Distribución por par de polos  $p=20$ .

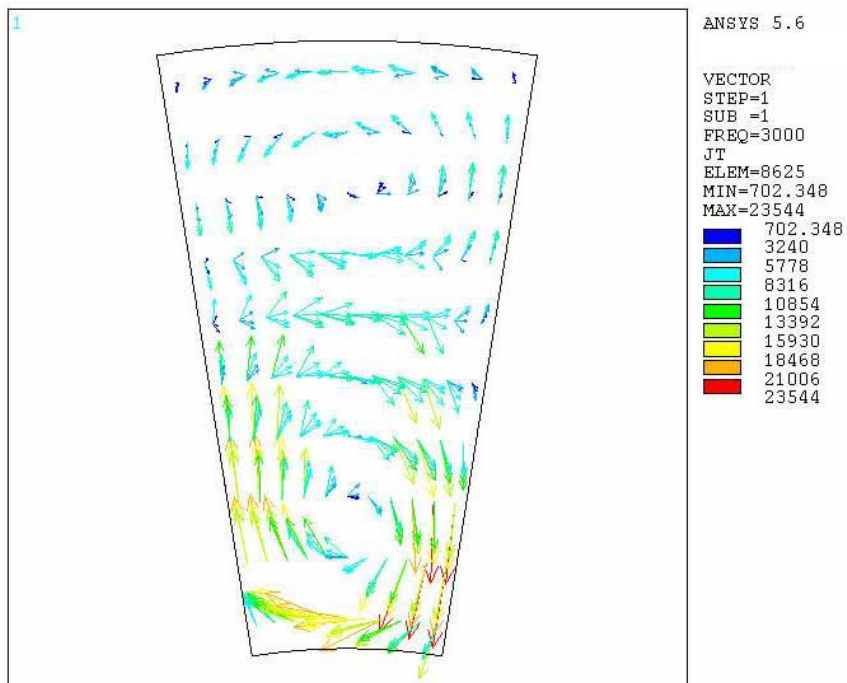


Figura 380. Componente imaginaria de la J del rotor.  $f_e=3000\text{Hz}$  -  $fr=0.15\text{Hz}$  -  $s=0.999$ . Distribución por par de polos  $p=20$ .